

Capitolul 2

Grafică rastru 2D

În acest capitol vom prezenta diverși algoritmi de afișare a unor obiecte matematice simple (segmente de dreaptă, cercuri, elipse, poligoane) pe ecrane rastru (algoritmi de conversie prin *scanare*_{scan converting} a primitivelor geometrice în pixeli). Ulterior vom prezenta algoritmi care realizează o colorare uniformă a pixelilor interiori unei primitive geometrice (dreptunghi, poligon oarecare, cerc, elipsă).

Ecranele rastru vor fi modelate prin spațiul discret $\mathbb{Z} \times \mathbb{Z}$ și funcția $value : \mathbb{Z} \times \mathbb{Z} \rightarrow V$, unde, în cazul ecranelor rastru monocrome (cu 1 bit / pixel) $V = \mathbb{B}$ ($= \{\mathbf{true}, \mathbf{false}\}$ sau $\{0, 1\}$) iar în cazul ecranelor multicrome (cu $n \geq 2$ biți / pixel) alegem $V \subseteq \mathbb{N}$ astfel încât $|V| \geq$ numărul nivelurilor de intensitate (sau numărul de culori).

Din punct de vedere grafic vom reprezenta ecranele rastru printr-o mulțime de drepte paralele (orizontale și verticale - linii și coloane) egal distanțate (sub forma unei grile) iar pixelii (aprinși cu diverse intensități sau stinși) vor fi discuri centrate în punctele de intersecție ale grilei (denumite vârfurile grilei). În figura 2.1, pag. 21 am reprezentat un ecran rastru.

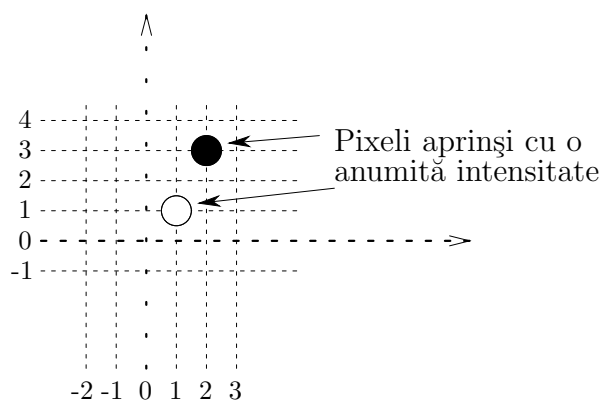


Figura 2.1: Reprezentarea unui ecran rastru

2.1 Afișarea segmentelor de dreaptă

Vom afișa segmente de dreaptă pe ecrane rastru monocrome. Segmentele de dreaptă vor fi approximate prin mulțimi de pixeli aprinși. Avem problema următoare :

Problema 2.1

Fie $[P_0P_n]$ un segment de dreaptă, unde $P_0(x_0, y_0)$ și $P_n(x_n, y_n)$. Mai presupunem că $(x_0, y_0) \in \mathbb{Z} \times \mathbb{Z}$ și $(x_n, y_n) \in \mathbb{Z} \times \mathbb{Z}$. Să se determine secvența de pixeli $M = (V_0, V_1, \dots, V_n)$ având proprietățile următoare :

1. $(\forall 0 \leq i \leq n)(V_i(x_i, y_i) \wedge (x_i, y_i) \in \mathbb{Z} \times \mathbb{Z})$ i.e., pixelul V_i este situat la intersecția dintre coloana $x = x_i$ și linia $y = y_i$, $\forall 0 \leq i \leq n$.
2. Fie m panta dreptei P_0P_n (ecuația dreptei P_0P_n este $y = m \cdot x + k$), unde m și k se obțin din ecuația dreptei care trece prin punctele P_0 și P_n : $\frac{y-y_0}{y_n-y_0} = \frac{x-x_0}{x_n-x_0}$. Dacă $|m| \leq 1$ atunci $(\forall 0 \leq i < n)(x_{i+1} = x_i + 1)$. În mod informal, această condiție semnifică faptul că pentru segmente de dreaptă având panta $|m| \leq 1$ trebuie să existe un unic pixel aprins în fiecare coloană intersectată de segmentul de dreaptă.
3. Dacă $|m| > 1$ atunci $(\forall 0 \leq i < n)(y_{i+1} = y_i + 1)$. În mod informal, această condiție semnifică faptul că pentru segmente de dreaptă având panta $|m| > 1$ trebuie să existe un unic pixel aprins în fiecare linie intersectată de segmentul de dreaptă.
4. Distanța dintre pixelul $V_i(x_i, y_i)$ și punctul de intersecție dintre $[P_0P_n]$ și coloana $x = x_i$ (dacă $|m| \leq 1$) sau dintre $V_i(x_i, y_i)$ și punctul de intersecție dintre $[P_0P_n]$ și linia $y = y_i$ (dacă $|m| > 1$) trebuie să fie minimă, i.e., pixelul V_i este cel mai apropiat de punct dintre toți pixelii de pe coloana $x = x_i$ sau, similar, de pe linia $y = y_i$.

■

Observația 2.1

Cerințele 2 și 3 ale problemei 2.1, pag. 21 au rolul de a asigura o anumită ”continuitate” în reprezentarea unui segment de dreaptă. Încălcarea acestor cerințe poate conduce la afișări incorecte, de exemplu reprezentarea unui segment de dreaptă continuu printr-un segment de dreaptă discontinuu.

■

În cele ce urmează vom prezenta o serie de algoritmi pentru rezolvarea problemei de mai sus. Vom pleca de la un algoritm inițial din care vom obține algoritmi superiori din punctul de vedere al complexității timp. Rafinarea algoritmului inițial constă în eliminarea operațiilor de înmulțire și împărțire și înlocuirea acestora cu operații de adunare și scădere. Vom încerca să utilizăm variabile de tip **int** în loc de variabile de tip **float** sau **double**.

Algoritmul 1 AfișareSegmentDreaptă1

Date de intrare : $(x_0, y_0), (x_n, y_n) \in \mathbb{Z} \times \mathbb{Z}$

Date de ieșire : $M \in \text{list of } (\mathbb{Z} \times \mathbb{Z})$, secvența de pixeli cerută de problema 2.1, pag. 21. Presupunem că ne aflăm în cazul $|m| \leq 1$.

Metodă :

```
procedure AfișareSegmentDreaptă1 (x0,y0,xn,yn : Z,
                                var M : list of (Z x Z))
{
  double m = (yn - y0) / (xn - x0);
  double k = y0 - m * x0;
  // am calculat dreapta y = m * x + k care trece prin
  // punctele P0 si Pn
  M = \epsilon; // M este initial lista vida
```

```

for (int x = x0; x <= xn; x++)
{
    double y;
    y = m * x + k;
    // secvenței M i se adauga, prin concatenare, un
    // nou pixel V(x, floor(y + 0.5))
    M = M . (x, floor(y + 0.5));
}
}

```

Mai sus notația $\backslash\epsilonpsilon$ semnifică ϵ (notația pentru lista vidă) și $M = M . (x, \text{floor}(y + 0.5))$; semnifică concatenarea listei M cu un element : $M = M \cdot (x, \text{floor}(y + 0.5))$.

Exercițiul 2.1

Modificați algoritmul 1, pag. 22 astfel încât să funcționeze corect și în cazul în care $|m| > 1$. În cazul în care avem $|m| > 1$ procedura *AfisareSegmentDreapta1* poate calcula o secvență de pixeli $M = ((x_0, y_0), \dots, (x, y), (x + 1, y'), \dots, (x_n, y_n))$, cu $y' > y + 1$ și $y' \in \mathbb{Z}$ (pentru a nu complica expunerea) ceea ce contravine cerinței 3 din problema 2.1, pag. 21.

Algoritmul următor provine din algoritmul 1, pag. 22. Este un algoritm *incremental* (aceasta însemnând că valorile (x', y') ale unui pixel sunt obținute din valorile (x, y) ale pixelului imediat precedent printr-o operație de adunare).

Algoritmul 2 AfisareSegmentDreapta2

Date de intrare : $(x_0, y_0), (x_n, y_n) \in \mathbb{Z} \times \mathbb{Z}$

Date de ieșire : $M \in \text{list of } (\mathbb{Z} \times \mathbb{Z})$, secvența de pixeli cerută de problema 2.1, pag. 21. Presupunem că ne aflăm în cazul $|m| \leq 1$.

Metodă : În algoritmul 1, pag. 22 înlocuim instrucțiunea $y = m * x + k$; : să presupunem că $M = (x_0, y_0) \cdot \dots \cdot (x_i, y_i)$. La pasul următor lui M i se adaugă pixelul (x_{i+1}, y_{i+1}) : $x_{i+1} = x_i + 1$ și $y_{i+1} = m \cdot x_{i+1} + k$ deci $y_{i+1} = m \cdot (x_i + 1) + k = (m \cdot x_i + k) + m$. Dar $y_i = m \cdot x_i + k$ și deci $y_{i+1} = y_i + m$.

```

procedure AfisareSegmentDreapta2 (x0,y0,xn,yn : Z,
                                var M : list of (Z x Z))
{
    double m = (yn - y0) / (xn - x0);
    double y = y0;
    M = \epsilonpsilon; // M este initial lista vida
    for (int x = x0; x <= xn; x++)
    {
        // secvenței M i se adauga, prin concatenare, un
        // nou pixel V(x, floor(y + 0.5))
        M = M . (x, floor(y + 0.5));
        y += m;
    }
}

```

Observația 2.2

Și în cazul algoritmului 2, pag. 23 cazul $|m| > 1$ este tratat incorect. Modificați algoritmul 2, pag. 23 astfel încât cazul $|m| > 1$ să fie tratat corect. ■

Algoritmul următor (propus de Pitteway în 1967 și de van Aken în 1984 și variantă a unui algoritmul propus de Bresenham în 1965) calculează aceeași secvență de pixeli ca algoritmi anteriori dar utilizează doar aritmetica întregilor (astfel vom renunța la utilizarea variabilelor de tip **double** sau la utilizarea funcției parte întreagă inferioară *floor*).

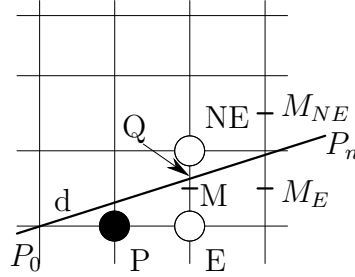


Figura 2.2: Alegerea unuia dintre pixelii E sau NE

Principiul acestui algoritm este următorul : să presupunem că pixelul P este pixelul curent selectat (i.e., ultimul pixel calculat al secvenței M).

Mai presupunem, fără a restrânge generalitatea, că dreapta d (determinată de segmentul $[P_0P_n]$) are panta $|m| \leq 1$ și poziția ca în figura 2.2, pag. 24 (i.e., $x_0 < x_n$, $y_0 < y_n$ și $\frac{y_n - y_0}{x_n - x_0} < 1$).

În acest caz următorul pixel din secvență poate fi fie pixelul E (*est*), fie pixelul NE (*nord-est*). Conform cerinței 4 din problema 2.1, pag. 21 va trebui ales acel pixel a cărui distanță până la dreapta d este $\min(\text{distanța}(E, d), \text{distanța}(NE, d))$.

Decizia alegerii unuia dintre cei doi pixeli este luată în funcție de poziția punctului M situat la mijlocul distanței dintre E și NE . Dacă punctul M este situat *sub* dreapta d (aceasta însemnând că punctul Q , care este intersecția dreptei d cu segmentul de dreaptă $[E, NE]$, este situat între M și NE) atunci este evident că NE este pixelul cel mai apropiat de d și va fi selectat. Altfel, dacă M este situat *deasupra* lui d , i.e., Q este situat între M și E atunci este selectat pixelul E .

Notăția 2.1

În cele ce urmează folosim următoarele notații : $P(x_P, y_P)$, $E(x_P + 1, y_P)$, $NE(x_P + 1, y_P + 1)$, $Q = d \cap [E, NE]$. Ecuația dreptei d este $F(x, y) = 0$, unde $F(x, y) = a \cdot x + b \cdot y + c$. Coeficienții a , b , c se obțin plecând de la ecuația dreptei d (care trece prin P_0 și P_n) :

$$\frac{x - x_0}{x_n - x_0} = \frac{y - y_0}{y_n - y_0} \quad (2.1)$$

Utilizăm notațiile¹ $d_x \doteq x_n - x_0$ și $d_y \doteq y_n - y_0$. Rescriem ecuația 2.1 :

$$\frac{x - x_0}{d_x} = \frac{y - y_0}{d_y} \quad (2.2)$$

¹În cele ce urmează, $x \doteq y$ înseamnă x este o notație pentru y

și deci avem $y = \frac{d_y}{d_x} \cdot x + (y_0 - \frac{d_y}{d_x} \cdot x_0)$, și deci avem

$$d_y \cdot x - d_x \cdot y + (d_x \cdot y_0 - d_y \cdot x_0) = 0 \quad (2.3)$$

În concluzie coeficienții a, b, c sunt : $a = d_y, b = -d_x, c = d_x \cdot y_0 - d_y \cdot x_0$. Ecuația 2.3 se mai numește și ecuația *implicită* a dreptei d . ■

Proprietatea 2.1 (poziția punctului M relativ la dreapta d)

Fie punctul $M(x', y')$ și dreapta d dată prin ecuația implicită $F(x, y) = 0$. Atunci :

1. $M \in d \iff F(x', y') = 0$.
2. M este situat sub dreapta d ddacă $F(x', y') > 0$.
3. M este situat deasupra dreptei d ddacă $F(x', y') < 0$.

■

Demonstrație

1. Evident.
2. Să presupunem că M este situat sub dreapta d . Fie $V = d \cap \{x \mid x = x'\}$. Deci V are coordonatele $(x', \frac{-a \cdot x' - c}{b})$. Atunci $M(x', y')$ este situat sub d ddacă $y' < \frac{-a \cdot x' - c}{b}$. Dacă $b < 0$ (și aici suntem în acest caz deoarece $b = -d_x$) atunci avem $M(x', y')$ este situat sub d ddacă $a \cdot x' + b \cdot y' + c > 0 \iff F(x', y') > 0$
3. Se arată în mod similar cu cazul precedent.

□

Am văzut mai sus că alegerea unuia din pixelii E sau NE depinde de poziția punctului M față de dreapta d . Conform proprietății 2.1, pag. 25 putem acum să descriem *matematic* acest lucru : punctul M are coordonatele $x_P + 1$ și $y_P + \frac{1}{2}$ și notăm $d \doteq F(x_P + 1, y_P + \frac{1}{2})$. d este o variabilă de decizie utilizată în algoritm². Dacă $d > 0$ atunci alegem pixelul NE și dacă $d \leq 0$ alegem pixelul E.

Știm că primul pixel din secvența de pixeli este chiar extremitatea $P_0(x_0, y_0)$ a segmentului $[P_0 P_n]$. Valoarea de inițializare a variabilei de decizie d este atunci $F(x_0 + 1, y_0 + \frac{1}{2}) = a \cdot (x_0 + 1) + b \cdot (y_0 + \frac{1}{2}) + c = a \cdot x_0 + b \cdot y_0 + c + a + \frac{b}{2} = F(x_0, y_0) + a + \frac{b}{2} = a + \frac{b}{2}$ (deoarece $P_0 \in [P_0 P_n]$ avem $F(x_0, y_0) = 0$).

Deoarece există posibilitatea ca $\frac{b}{2} \notin \mathbb{Z}$ vom considera $F(x, y) = 2 \cdot (a \cdot x + b \cdot y + c)$ și se observă că această alegere nu schimbă semnul variabilei de decizie d .

În algoritmul care urmează, după alegerea unuia dintre pixelii E sau NE ca fiind pixel curent, trebuie să modificăm și punctul de mijloc M (deci și valoarea variabilei de decizie d). Așa cum vom vedea această modificare este *incrementală*.

Să presupunem că pixelul E a fost cel selectat. Atunci punctul de mijloc M devine $M_E(x_P + 2, y_P + \frac{1}{2})$. Noua valoare a variabilei de decizie d este $d' = F(M_E) = F(x_P + 2, y_P + \frac{1}{2}) = 2 \cdot (a \cdot (x_P + 2) + b \cdot (y_P + \frac{1}{2}) + c) = 2 \cdot (a \cdot (x_P + 1) + b \cdot (y_P + \frac{1}{2}) + c) + 2 \cdot a = d + 2 \cdot a$.

Să presupunem că pixelul NE a fost cel selectat. Atunci punctul de mijloc M devine $M_{NE}(x_P + 2, y_P + \frac{3}{2})$. Noua valoare a variabilei de decizie d este $d' = F(M_{NE}) = F(x_P + 2, y_P + \frac{3}{2}) = 2 \cdot (a \cdot (x_P + 2) + b \cdot (y_P + \frac{3}{2}) + c) = 2 \cdot (a \cdot (x_P + 1) + b \cdot (y_P + \frac{1}{2}) + c) + 2 \cdot (a + b) = d + 2 \cdot (a + b)$.

²a nu se confunda cu dreapta d care trece prin punctele P_0 și P_n

Pe baza celor de mai sus putem descrie algoritmul de afișare a segmentelor de dreaptă care utilizează tehnica punctului de mijloc.

Algoritmul 3 AfișareSegmentDreaptă3

Date de intrare : $(x_0, y_0), (x_n, y_n) \in \mathbb{Z} \times \mathbb{Z}$

Date de ieșire : $M \in \text{list of } (\mathbb{Z} \times \mathbb{Z})$, secvența de pixeli cerută de problema 2.1, pag. 21.

Presupunem că ne aflăm în cazul $|m| \leq 1$ și $x_0 < x_n, y_0 < y_n$.

Metodă :

```
procedure AfisareSegmentDreapta3 (x0,y0,xn,yn : Z,
                                var M : list of (Z x Z))
{
  // valoarea initiala a variabile de decizie
  // dx, dy sunt constante - a se vedea mai sus
  int d = 2 * dy - dx;
  int dE = 2 * dy;
  int dNE = 2 * (dy - dx);
  int x = x0, y = y0;
  M = (x,y);
  while (x < xn)
  {
    if (d <= 0) { /* alegem E */    d += dE; x++; }
    else       { /* alegem NE */   d += dNE; x++; y++; }
    M = M . (x, y);
  }
}
```

■

Observația 2.3

Algoritmii 1, pag. 22, 2, pag. 23 și 3, pag. 26 de afișare a segmentelor de dreaptă pot fi folosiți pentru afișarea liniilor poligonale sau a contururilor poligoanelor.

■

2.2 Afișarea cercurilor

Ca și în cazul afișării segmentelor de dreaptă vom prezenta mai întâi algoritmi relativ simpli de afișare a unui cerc (dar care utilizează operații complexe în raport cu operația de adunare a întregilor). Ulterior vom prezenta algoritmi mai complicați dar având o complexitate timp mai bună (deoarece sunt incremental și utilizează doar operații de adunare a întregilor).

Vom prezenta algoritmi de afișare a unui cerc având centrul în origine și rază $R \in \mathbb{Z}$. Ecuația unui astfel de cerc este $F(x, y) = 0$, unde $F(x, y) = x^2 + y^2 - R^2$.

Algoritmul 4 AfișareCerc1

Date de intrare : $R \in \mathbb{Z}$, raza unui cerc centrat în origine,

Date de ieșire : $M \in \text{list of } (\mathbb{Z} \times \mathbb{Z})$, o secvență de pixeli care aproximează cadranul I al cercului de rază R centrat în origine (cadran descris matematic astfel : $\{(x, y) \mid (x, y) \in \mathbb{R}^2 \wedge 0 \leq x \leq R \wedge y = \sqrt{R^2 - x^2}\}$).

Metodă :

```

procedure AfisareCerc1 (R : Z, var M : list of (Z x Z))
{
  M = \epsilon;
  for (int x = 0; x <= R; x++)
  {
    M = M . (x, floor(sqrt(R*R - x*x) + 0.5));
  }
}

```

■

Observația 2.4

Utilizând procedura AfisareCerc1 putem afișa un cerc astfel : dat un pixel $P(x, y) \in M$ putem obține pixelii simetrici din cadranele 2,3,4 prin simetrie față de axa Oy , față de origine și față de axa Ox : $P''(-x, y)$, $P'''(-x, -y)$ și $P^\dagger(x, -y)$.

■

Observația 2.5

Algoritmul 4, pag. 26 utilizează operații relativ costisitoare (*floor*, *sqrt*). În plus prezintă și dezavantajul de a genera pixeli în mod neuniform : e.g., în cazul unui cerc de rază 17 centrat în origine, primii doi pixeli generați sunt (0, 17) și (1, 17) iar ultimii doi pixeli generați sunt (16, 6) și (17, 0). Acest ultim dezavantaj nu apare în cazul algoritmului următor.

■

Algoritmul 5 AfisareCerc2

Date de intrare : $R \in \mathbb{Z}$, raza unui cerc centrat în origine,

Date de ieșire : $M \in \text{list of } (\mathbb{Z} \times \mathbb{Z})$, o secvență de pixeli care aproximează cadranul I al cercului de rază R centrat în origine.

Metodă : Vom folosi coordonatele polare ale pixelilor : $\begin{cases} x = R \cdot \cos t \\ y = R \cdot \sin t \end{cases}$, unde $0 \leq t \leq \frac{\pi}{2}$.

```

procedure AfisareCerc2 (R : Z, var M : list of (Z x Z))
{
  M = \epsilon;
  for (double t = 0; t <= PI/2; t+=PI/100)
  {
    M = M . (floor(R*cos(t) + 0.5), floor(R*sin(t) + 0.5));
  }
}

```

■

Și în cazul cercului putem aplica tehnica punctului de mijloc. Principiul este același ca în cazul unui segment de dreaptă : plecând de la pixelul curent, următorul pixel din secvență este ales dintre doi pixeli, în funcție de poziția față de cerc a punctului situat la jumătatea distanței dintre cei doi pixeli. Vom genera prin această metodă doar pixelii din octantul al doilea al cercului de rază R centrat în origine (descriș matematic astfel : $\{(x, y) \mid (x, y) \in \mathbb{R}^2 \wedge x^2 + y^2 = R^2 \wedge 0 \leq x \leq \frac{R\sqrt{2}}{2} \wedge \frac{R\sqrt{2}}{2} \leq y \leq R\}$).

Presupunând că $P(x_P, y_P)$ este pixelul curent, alegerea se va face între pixelii $E(x_P + 1, y_P)$ (est) și $SE(x_P + 1, y_P - 1)$ (sud-est), conform figurii 2.3, pag. 28. Punctul de mijloc este $M(x_P + 1, y_P - \frac{1}{2})$. Dacă a fost ales E atunci noul punct de mijloc este $M_E(x_P + 2, y_P - \frac{1}{2})$ iar în cazul alegerii SE noul punct de mijloc este $M_{SE}(x_P + 2, y_P - \frac{3}{2})$.

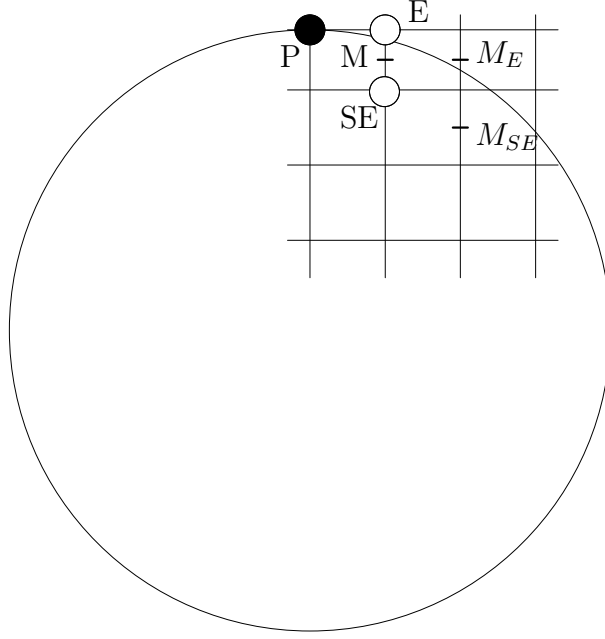


Figura 2.3: Alegerea unuia dintre pixelii E sau SE

Dacă punctul M este situat în interiorul cercului atunci pixelul E este mai apropiat de cerc și va fi selectat iar dacă M este situat în exteriorul cercului atunci pixelul SE este mai apropiat de cerc și va fi selectat.

Proprietatea 2.2

Fie $M(x', y')$. Atunci :

1. $M \in$ cercului de rază R centrat în origine ddacă $F(x', y') = 0$,
2. M este situat în interiorul cercului de rază R centrat în origine ddacă $F(x', y') < 0$,
3. M este situat în exteriorul cercului de rază R centrat în origine ddacă $F(x', y') > 0$,

unde $F(x, y) = x^2 + y^2 - R^2$. ■

Demonstrație

Ecuția cercului de rază R centrat în origine este $F(x, y) = 0$, unde $F(x, y) = x^2 + y^2 - R^2$.

1. Evident.
2. Originea este situată în interiorul cercului și deci un punct din interiorul cercului $M(x', y')$ are proprietatea că $\text{sgn}(F(x', y')) = \text{sgn}(F(0, 0)) = \text{sgn}(-R^2) = -1$ și deci $F(x', y') < 0$.
3. Prin excluderea celor două cazuri anterioare.

□

Ca și în cazul segmentului de dreaptă considerăm o variabilă de decizie $d \doteq F(M) = F(x_P + 1, y_P - \frac{1}{2})$. Primul pixel din octantul al doilea care este generat de algoritm are coordonatele $(0, R)$ deci valoarea inițială a variabilei de decizie este $F(0+1, R-\frac{1}{2}) = F(1, R-\frac{1}{2}) = (1) + (R^2 - R + \frac{1}{4}) - R^2 = \frac{5}{4} - R$.

Dacă $d < 0$ atunci M este în interiorul cercului și deci alegem pixelul E. În acest caz noua valoare a variabilei de decizie este $d' = F(M_E) = F(x_P+2, y_P-\frac{1}{2}) = (x_P+2)^2 + (y_P-\frac{1}{2})^2 - R^2 = (x_P+1)^2 + (y_P-\frac{1}{2})^2 - R^2 + 2 \cdot x_P + 3 = d + 2 \cdot x_P + 3$.

Dacă $d > 0$ atunci M este în exteriorul cercului și deci alegem pixelul SE. În acest caz noua valoare a variabilei de decizie este $d' = F(M_{SE}) = F(x_P+2, y_P-\frac{3}{2}) = (x_P+2)^2 + (y_P-\frac{3}{2})^2 - R^2 = (x_P+1)^2 + (y_P-\frac{1}{2})^2 - R^2 + 2 \cdot x_P + 3 - 2 \cdot y_P + 2 = d + 2 \cdot x_P - 2 \cdot y_P + 5$.

Pe baza observațiilor de mai sus putem descrie o versiune preliminară a algoritmului de afișare a cercului care utilizează tehnica punctului de mijloc. Este o versiune care va fi rafinată prin eliminarea valorilor de tip **float** sau **double** (valori posibile pentru variabila de decizie d) precum și prin eliminarea operațiilor de înmulțire (e.g., $d' = d + 2 \cdot x_P + 3$ sau $d' = d + 2 \cdot x_P - 2 \cdot y_P + 5$).

Algoritmul 6 AfișareCerc3

Date de intrare : $R \in \mathbb{Z}$, raza unui cerc centrat în origine,

Date de ieșire : $M \in \text{list of } (\mathbb{Z} \times \mathbb{Z})$, o secvența de pixeli care aproximează cel mai bine octantul al II-lea al cercului de rază R centrat în origine. Prin simetrie față de Oy , Ox și față de bisectoarea $y = x$ este afișat cercul în întregime.

Metodă :

```

procedure AfișarePuncteCerc3 (x,y : Z, var M : list of (Z x Z))
{
  M = M . (x,y) . (-x,-y) . (-x,y) . (x,-y);
  if (x != y)
    M = M . (y,x) . (-y,-x) . (-y,x) . (y,-x);
}
procedure AfișareCerc3 (R : Z, var M : list of (Z x Z))
{
  int x = 0, y = R;
  double d = 5.0 / 4 - R;
  M = \epsilon;
  AfișarePuncteCerc3(x, y, M);
  while (y > x)
  {
    // conditia y > x caracterizeaza octantul al 2-lea
    if (d < 0)
    {
      // alegem pixelul E
      d += 2 * x + 3;
      x++;
    }
    else
    {
      // alegem pixelul SE
      d += 2 * ( x - y ) + 5;
      x++;
      y--;
    }
  }
  AfișarePuncteCerc3(x, y, M);
}

```

```
}
}
```

■

În algoritmul precedent aducem următoarele modificări : mai întâi înlocuim variabila de decizie d cu o nouă variabilă de decizie h cu proprietatea că valorile lui h sunt doar de tip **int** (se observă că valorile variabilei de decizie d sunt de tip **double** : valoarea inițială $\frac{5}{4} - R$ este de tip **double** iar valorile ulterioare se obțin prin incrementarea cu valori de tip **int**).

Fie $h = d - \frac{1}{4}$. Atunci valoarea inițială a lui h este $\frac{5}{4} - R - \frac{1}{4} = 1 - R \in \mathbb{Z}$. Observăm că instrucțiunile de incrementare $d += 2 \cdot x + 3$; și $d += 2 \cdot (x - y) + 5$; nu se modifică (deoarece, de exemplu, putem rescrie instrucțiunea $d += 2 \cdot x + 3$; sub forma $d = d + 2 \cdot x + 3$; și efectuând înlocuirea în membrii stâng/drept a variabilei d cu $h + \frac{1}{4}$ vom obține $h + 1/4 = h + 1/4 + 2 \cdot x + 3$; și deci noua instrucțiune este $h = h + 2 \cdot x + 3$; deci $h += 2 \cdot x + 3$).

Avem de asemenea și faptul $d < 0 \iff h < 0$ ($d < 0 \iff h < -\frac{1}{4}$ dar valoarea inițială a lui h este din \mathbb{Z} și de asemenea și valorile ulterioare și deci rezultă că $h \in \mathbb{Z}$. Avem deci $h \in \mathbb{Z} \wedge h < -\frac{1}{4}$ și deci $h < 0$).

În concluzie, în algoritmul 6, pag. 29 este suficient să modificăm instrucțiunea de inițializare a variabilei de decizie d din **double** $d = 5.0 / 4 - R$; în **int** $d = 1 - R$; . Mai rămân operațiile de înmulțire. Acestea sunt eliminate în cele ce urmează. Utilizăm următoarele notații : $d_E \doteq 2 \cdot x_P + 3$, și $d_{SE} \doteq 2 \cdot (x_P - y_P) + 5$. Observăm că expresiile d_E și d_{SE} depind de pixelul curent $P(x_P, y_P)$. Valorile inițiale³ ale acestor expresii sunt 3 și $-2 \cdot R + 5$. În cazul alegerii pixelului E pixelul curent va avea coordonatele $(x_P + 1, y_P)$. Valorile expresiilor d_E și d_{SE} se modifică astfel : $d'_E = 2 \cdot (x_P + 1) + 3 = 2 \cdot x_P + 3 + 2 = d_E + 2$, $d'_{SE} = 2 \cdot (x_P + 1 - y_P) + 5 = 2 \cdot (x_P - y_P) + 5 + 2 = d_{SE} + 2$. În cazul alegerii pixelului SE pixelul curent va avea coordonatele $(x_P + 1, y_P - 1)$. Valorile expresiilor d_E și d_{SE} se modifică astfel : $d'_E = 2 \cdot (x_P + 1) + 3 = 2 \cdot x_P + 3 + 2 = d_E + 2$, $d'_{SE} = 2 \cdot (x_P + 1 - y_P + 1) + 5 = 2 \cdot (x_P - y_P) + 5 + 4 = d_{SE} + 4$.

În concluzie, algoritmul de afișare al cercurilor care utilizează tehnica punctului de mijloc (și care utilizează doar operații de adunare și valori de tip **int**) este :

Algoritmul 7 AfișareCerc4

Date de intrare : $R \in \mathbb{Z}$, raza unui cerc centrat în origine,

Date de ieșire : $M \in \text{list of } (\mathbb{Z} \times \mathbb{Z})$, o secvență de pixeli care aproximează cercul.

Metodă :

```
procedure AfisareCerc4 (R : Z, var M : list of (Z x Z))
{
  int x = 0, y = R;
  int d = 1 - R;
  int dE = 3, dSE = -2 * R + 5;
  M = \epsilon;
  AfisarePuncteCerc3(x, y, M);
  while (y > x)
  {
    if (d < 0)
    {
```

³pixelul curent în acest caz este pixelul inițial $P(0, R)$

```

    d += dE;
    dE += 2;
    dSE += 2;
}
else
{
    d += dSE;
    dE += 2;
    dSE += 4;
    y--;
}
x++;
AfisarePuncteCerc3(x, y, M);
}
}

```

■

2.3 Afișarea elipselor

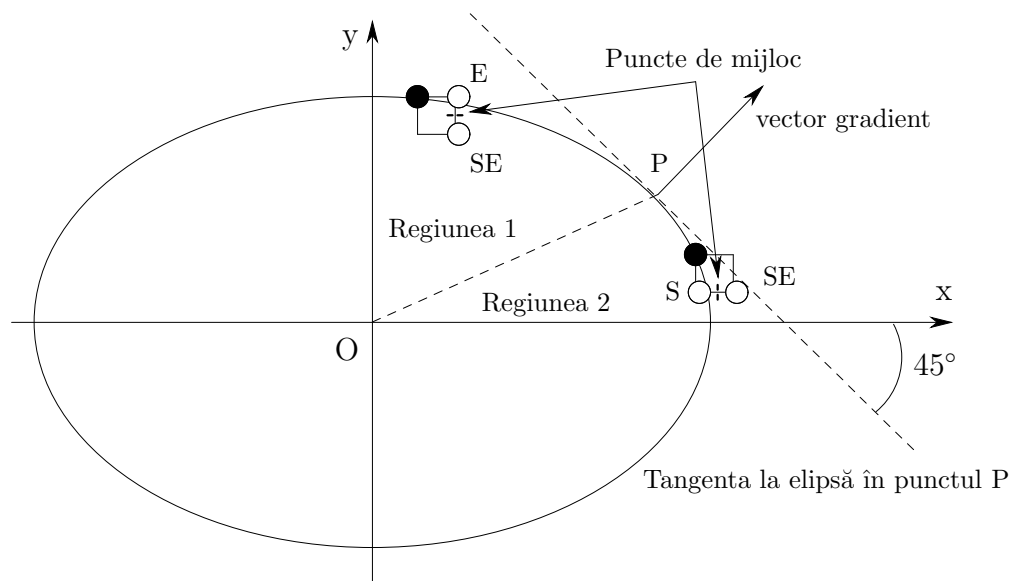


Figura 2.4: Alegerea unuia dintre pixelii E/SE sau S/SE

Vom prezenta algoritmi de afișare a unor elipse având centrul în origine și semiaxe $a, b \in \mathbb{Z}$. Ecuația unei astfel de elipse este $\frac{x^2}{a^2} + \frac{y^2}{b^2} = 1$ și o rescriem sub forma $F(x, y) = 0$, unde $F(x, y) = b^2 \cdot x^2 + a^2 \cdot y^2 - a^2 \cdot b^2$.

Și în cazul elipselor putem aplica algoritmi de genul algoritmului 5, pag. 27 pentru cercuri, în acest caz utilizând coordonatele polare : $\begin{cases} x = a \cdot \cos t \\ y = b \cdot \sin t \end{cases}$, unde $0 \leq t < 2\pi$.

Spre deosebire de algoritmi de afișare ai cercurilor, în cazul elipsei nu există simetria față de bisectoarea $y = x$. Deci vom efectua afișarea pixelilor în cadranul I și, prin simetrie față de axele Ox, Oy , respectiv origine, afișarea pixelilor din celelalte cadrane.

Afișarea elipsei în cadranul I (vezi figura 2.4, pag. 31) se face în funcție de una din cele două regiuni. În regiunea 1 trebuie să alegem, la un moment dat, între pixelii E și SE iar în regiunea 2 între pixelii S și SE. Alegerea se face în funcție de poziția punctului M situat la mijlocul distanței dintre pixelii între care se face alegerea. Delimitarea celor două regiuni este realizată de către punctul P cu proprietatea că vectorul gradient al elipsei în P (care este perpendicular pe tangenta la elipsă în P) formează un unghi de 45° cu axa Ox (sau o formulare echivalentă : punctul P are proprietatea că tangenta la elipsă în P formează cu axa Ox un unghi de 45°).

Definiția 2.1

Fie curba dată prin ecuația implicită $F(x, y) = 0$. Vectorul gradient al curbei este : $gradF(x, y) = \frac{\partial F}{\partial x} \cdot \vec{i} + \frac{\partial F}{\partial y} \cdot \vec{j}$. ■

În cazul elipsei vectorul gradient este : $gradF(x, y) = 2 \cdot b^2 \cdot x \cdot \vec{i} + 2 \cdot a^2 \cdot y \cdot \vec{j}$. În regiunea 1 panta vectorului gradient este > 1 iar în regiunea 2 este < 1 sau, echivalent, în regiunea 1 componenta corespunzătoare versorului \vec{j} este mai mare decât componenta corespunzătoare versorului \vec{i} și în regiunea 2 viceversa. Deci un punct P care aparține elipsei se află în regiunea 1 dacă $a^2 \cdot y > b^2 \cdot x$ și se află în regiunea 2 dacă $a^2 \cdot y < b^2 \cdot x$.

În fiecare regiune evaluăm $F(x, y) = b^2 \cdot x^2 + a^2 \cdot y^2 - a^2 \cdot b^2$ în fiecare punct de mijloc $M(x, y)$ și determinăm poziția acestuia față de elipsă :

- dacă $F(x, y) = 0$ atunci M aparține elipsei,
- dacă $F(x, y) < 0$ atunci M se găsește (ca și originea de altfel : $F(0, 0) = -a^2 \cdot b^2 < 0$) în interiorul elipsei,
- dacă $F(x, y) > 0$ atunci M se găsește în exteriorul elipsei.

În regiunea 1 dacă punctul de mijloc M se găsește în interiorul elipsei atunci este selectat pixelul E (deoarece este cel mai apropiat de elipsă) iar dacă M se găsește în exteriorul elipsei atunci este selectat pixelul SE.

În regiunea 2 dacă punctul de mijloc M se găsește în interiorul elipsei atunci este selectat pixelul SE altfel este selectat pixelul S.

Trecerea într-o altă regiune (din 1 în 2) se face când punctul de mijloc $M(x, y)$ nu mai aparține regiunii, deci când $a^2 \cdot y \leq b^2 \cdot x$.

Vom folosi următoarele notații : pixelul curent (cel deja selectat) este $P(x_P, y_P)$, punctul de mijloc în regiunea 1 este $M(x_P + 1, y_P - \frac{1}{2})$ iar în regiunea 2 este $M(x_P + \frac{1}{2}, y_P - 1)$.

Variabila de decizie în regiunea 1 este $d_1 = F(x_P + 1, y_P - \frac{1}{2})$ iar în regiunea 2 este $d_2 = F(x_P + \frac{1}{2}, y_P - 1)$.

Valoarea inițială a variabilei de decizie în regiunea 1 se obține pentru $P(0, b)$ și $M(0 + 1, b - \frac{1}{2})$: $d_1^{\text{init}} = F(1, b - \frac{1}{2}) = b^2 - a^2 \cdot b + \frac{a^2}{4}$. În regiunea 2 valoarea inițială a variabilei de decizie este $d_2^{\text{init}} = F(x_P + \frac{1}{2}, y_P - 1)$ (pentru primul punct de mijloc care aparține regiunii 2).

Valorile variabilelor de decizie se calculează incremental astfel :

- în regiunea 1 dacă $d_1 < 0$ alegem E, altfel SE. Dacă am ales pixelul E atunci $d_1' = F(x_P + 2, y_P - \frac{1}{2}) = d_1 + b^2 \cdot (2 \cdot x_P + 3)$. Dacă am ales pixelul SE atunci $d_1' = F(x_P + 2, y_P - \frac{3}{2}) = d_1 + b^2 \cdot (2 \cdot x_P + 3) + a^2 \cdot (-2 \cdot y_P + 2)$.
- în regiunea 2 dacă $d_2 < 0$ alegem SE, altfel S. Dacă am ales pixelul SE atunci $d_2' = F(x_P + \frac{3}{2}, y_P - 2) = d_2 + b^2 \cdot (2 \cdot x_P + 2) + a^2 \cdot (-2 \cdot y_P + 3)$. Dacă am ales pixelul S atunci $d_2' = F(x_P + \frac{1}{2}, y_P - 2) = d_2 + a^2 \cdot (-2 \cdot y_P + 3)$.

Obținem astfel algoritmul de afișare utilizând tehnica punctului de mijloc (algoritm propus de Pitteway în 1967, van Aken în 1984 și Kappel în 1985) :

Algoritmul 8 AfișareElipsă

Date de intrare : $a, b \in \mathbb{Z}$, semiaxele unei elipse centrate în origine.

Date de ieșire : $M \in \text{list of } (\mathbb{Z} \times \mathbb{Z})$, o secvență de pixeli care aproximează cel mai bine elipsa.

Metodă :

```

procedure AfișarePuncteElipsa (x,y : Z, var M : list of (Z x Z))
{
  M = M . (x,y) . (-x,-y) . (-x, y) . (x,-y);
}
procedure AfișareElipsa (a,b : Z, var M : list of (Z x Z))
{
  int x = 0, y = b;
  double d1 = b*b - a*a*b + a*a/4.0;
  double d2;
  M = \epsilon;
  AfișarePuncteElipsa(x, y, M);
  while (a*a*(y - 0.5) > b*b*(x+1))
  {
    // atat timp cat punctul de mijloc apartine regiunii 1
    if (d1 < 0)
    {
      // este selectat E
      d1 += b*b*(2*x+3);
      x++;
    }
    else
    {
      // este selectat SE
      d1 += b*b*(2*x+3) + a*a*(-2*y+2);
      x++;
      y--;
    }
    AfișarePuncteElipsa(x, y, M);
  }
  // trecem in regiunea 2 si initializam variabila de decizie
  d2 = b*b*(x+0.5)*(x+0.5) + a*a*(y-1)*(y-1) - a*a*b*b;
  while (y > 0)
  {
    if (d2 < 0)
    {
      // este selectat SE
      d2 += b*b*(2*x+2) + a*a*(-2*y+3);
      x++;
      y--;
    }
  }
}

```

```

else
{
    // este selectat S
    d2 += a*a*(-2*y+3);
    y--;
}
AfisarePuncteElipsa(x, y, M);
}
}

```

■

2.4 Colorarea uniformă a dreptunghiurilor

Problema care se pune este următoarea : să presupunem că pe grila carteziană (a se vedea figura 2.5, pag. 34) avem suprapus un dreptunghi ale cărui vârfuri sunt date prin intersecția dreptelor $x = x_{\min}$, $x = x_{\max}$, $y = y_{\min}$, $y = y_{\max}$, unde $x_{\min}, x_{\max}, y_{\min}, y_{\max} \in \mathbb{Z}$. Se cere să se determine și să se coloreze uniform pixelii din interiorul dreptunghiului.

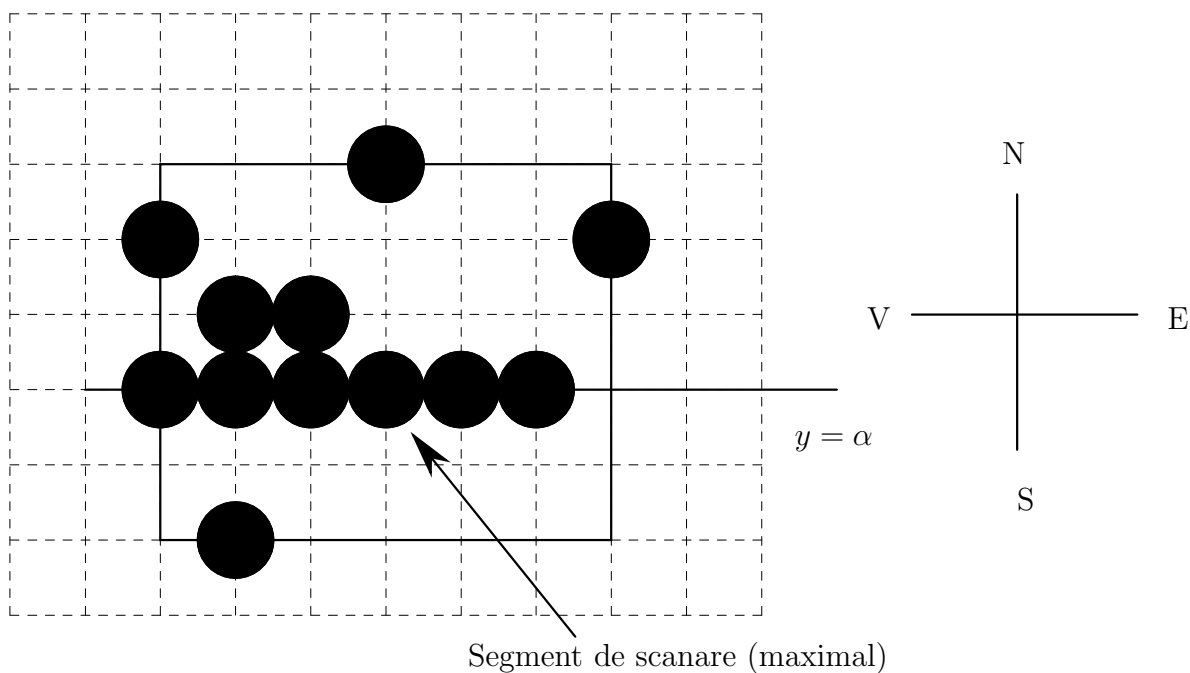


Figura 2.5: Pixelii interiori

Așa cum se poate observa în figura 2.5, pag. 34 determinarea pixelilor strict interiori este evidentă (sunt acei pixeli $P(x_P, y_P)$ cu proprietatea că $x_{\min} < x_P < x_{\max}$ și că $y_{\min} < y_P < y_{\max}$). În cazul pixelilor de pe frontiera dreptunghiului (cea de nord, sud, est sau vest) recurgem la următoarea convenție : pixelii de pe frontiera de nord și de est *nu* sunt interiori dreptunghiului iar cei de pe frontiera de vest și de sud sunt⁴.

⁴În general, regula este următoarea : un pixel situat pe o muchie nu este pixel interior dacă semiplanul definit de muchia respectivă și care conține obiectul se află în stânga sau sub muchie

Această convenție se impune deoarece colorarea pixelilor trebuie să se realizeze prin apelarea *o singură dată* a primitivei **writePixel(int x, int y, int valoare)** care realizează colorarea unui pixel având coordonatele (x, y) . Să presupunem că nu am fi respectat convenția sus-menționată. Atunci, în cazul a două dreptunghiuri care partajează o muchie, am fi în situația în care procedura **writePixel** ar fi apelată de două ori.

Având în vedere cele expuse mai sus, algoritmul care efectuează colorarea uniformă a pixelilor interiori unui dreptunghi este :

Algoritmul 9 Colorare uniformă dreptunghi

Date de intrare : $x_{\min}, x_{\max}, y_{\min}, y_{\max} \in \mathbb{Z}$ și $val \in \mathbb{Z}$ parametrul care determină culoarea pixelilor.

Date de ieșire : Algoritmul colorează pixelii interiori dreptunghiului cu culoarea val .

Metodă :

```
procedure ConvScanDreptunghi (xm,xM,ym,yM,val : Z)
{
  for (int x = xm; x < xM; x++)
    for (int y = ym; y < yM; y++)
      writePixel(x,y,val);
}
```

■

2.5 Colorarea uniformă a poligoanelor

Algoritmul care va fi prezentat poate fi aplicat nu numai poligoanelor convexe ci și celor concave sau celor care au găuri. Acest algoritm calculează pixelii interiori ai unui poligon utilizând intersecția unor drepte de scanare cu poligonul (determinând astfel segmente de scanare maximale⁵).

Un exemplu de segment de scanare maximal este prezentat în figura 2.5, pag. 34 : dreapta de scanare $y = \alpha$, $\alpha \in \mathbb{Z}$, intersectează dreptunghiul iar pixelii interiori sunt cei reprezentați în figură.

Un alt exemplu este cel din figura 2.6, pag. 36 : în acest caz dreapta de scanare $y = 8$ intersectează poligonul $ABCDEF$ (unde $A(2,3)$, $B(7,1)$, $C(13,5)$, $D(13,11)$, $E(7,7)$ și $F(2,9)$), mai precis muchiile sale AF , EF , DE , CD , în punctele $a(2,8)$, $b(\frac{9}{2},8)$, $c(\frac{17}{2},8)$ și $d(13,8)$. Se poate observa că pixelii strict interiori poligonului de pe dreapta de scanare $y = 8$ sunt cei marcați în figură, cu excepția pixelului $(13,8)$ care nu este considerat interior conform convenției precizate anterior. Pentru același poligon $ABCDEF$, pixelii interiori sunt prezentați în figura 2.7, pag. 37. Pixelii interiori sunt marcați utilizând simbolul ●, prin simbolul ■ am marcat câțiva pixeli care sunt strict exteriori poligonului $ABCDEF$ iar prin simbolul ○ am marcat câțiva pixeli care, deși s-ar părea că sunt interiori poligonului, datorită convenției din secțiunea 2.4, pag. 34, nu sunt interiori poligonului $ABCDEF$.

Algoritmul are trei etape :

1. pentru toate dreptele de scanare care intersectează poligonul, se calculează intersecția acestora cu muchiile poligonului,

⁵un segment de scanare maximal este acel segment de pe o dreaptă de scanare, complet inclus în interiorul obiectului și care este maximal cu această proprietate, i.e., nu există un alt segment de scanare care să-l includă

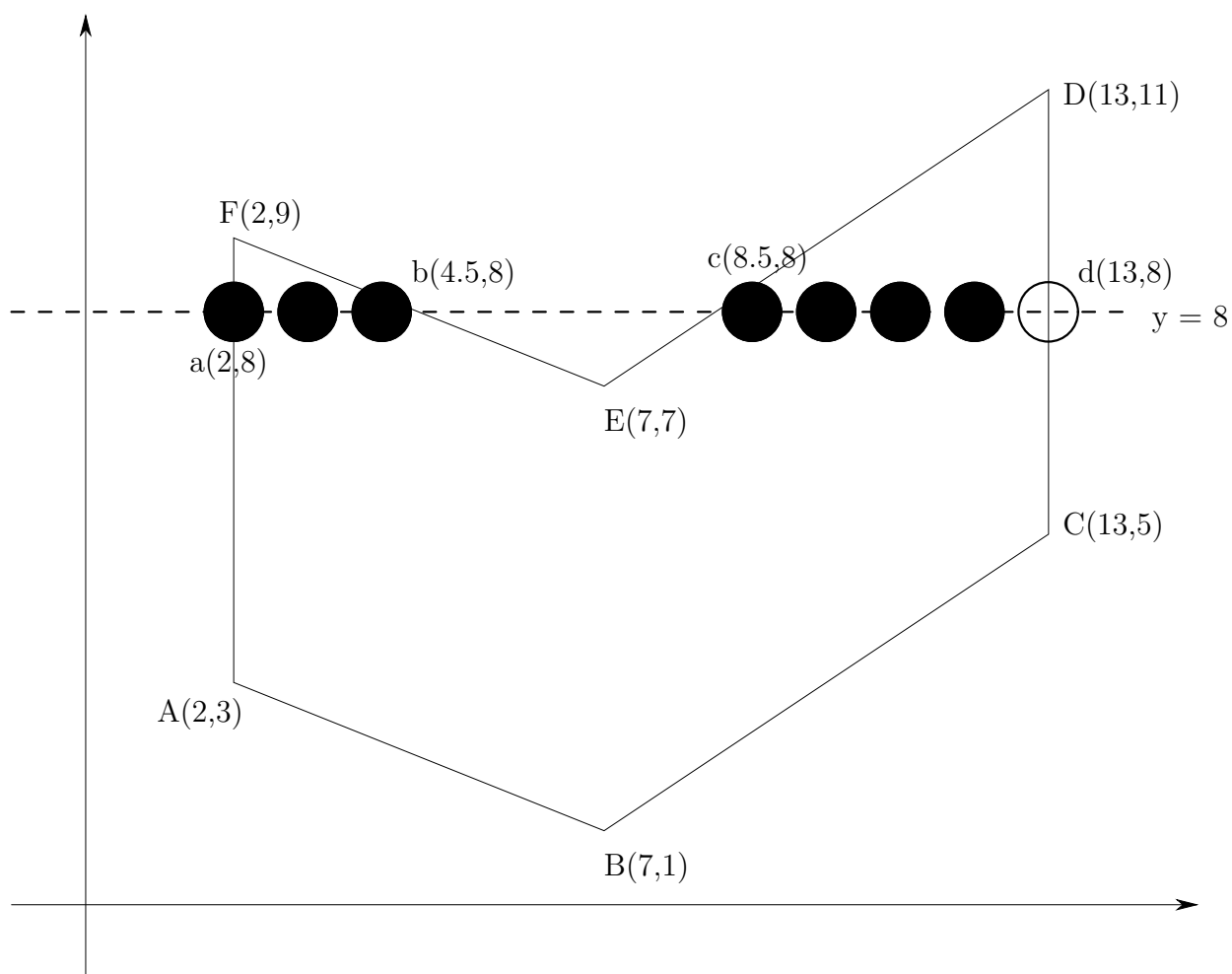


Figura 2.6: Colorarea uniformă a unui poligon. Un segment de scanare maximal.

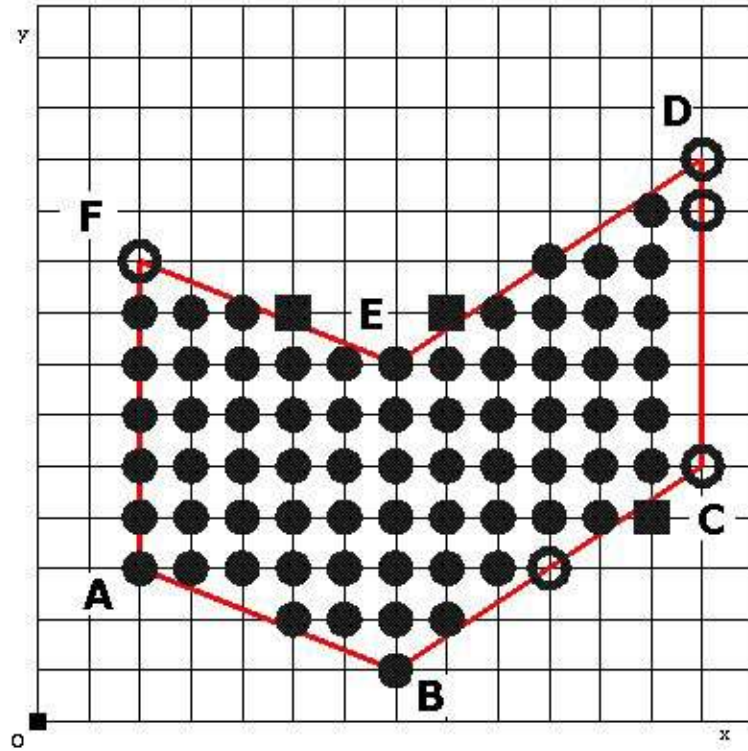


Figura 2.7: Pixeli interiori poligonului $ABCDEF$

2. sortarea punctelor de intersecție crescător după coordonata x ,
3. colorarea tuturor pixelilor dintre două intersecții succesive, pixeli care sunt strict interiori poligonului. Având la dispoziție lista punctelor de intersecție dintre o dreaptă de scanare și poligon (listă ordonată crescător după coordonata x), pixelii interiori sunt cei dintre punctele de intersecție 1 și 2, dintre 3 și 4, dintre 5 și 6, etc. Trebuie clarificate următoarele aspecte :
 - (a) Cum procedăm în cazul în care coordonata x a unui punct de intersecție nu are o valoare din \mathbb{Z} ? În acest caz acest punct are doi pixeli vecini. Pe care îl selectăm ? În acest caz⁶ procedăm astfel : în cazul punctelor de intersecție 1, 3, 5, etc. pixelul interior va avea coordonata $\lceil x \rceil$ iar în cazul punctelor de intersecție 2, 4, 6, etc. pixelul interior va avea coordonata $\lfloor x \rfloor$. De exemplu, în figura 2.6, pag. 36, cele 2 cazuri se referă la punctele de intersecție $b(\frac{9}{2}, 8)$ și $c(\frac{17}{2}, 8)$ (folosind notația noastră ele sunt punctele 2 și 3). Conform regulii de mai sus, pixelul vecin al lui $b(\frac{9}{2}, 8)$ este $(4, 8)$ iar cel vecin al lui $c(\frac{17}{2}, 8)$ este $(9, 8)$ (așa cum de altfel se poate observa în figura 2.7, pag. 37).
 - (b) Cum procedăm cu pixelii care sunt extremități ale unui segment de scanare maximal ? Așa cum am precizat în secțiunea 2.4, pag. 34 pixelul din extremitatea stângă este considerat interior poligonului iar cel din extremitatea dreaptă nu este considerat interior.
 - (c) Cum procedăm cu pixelii care sunt în același timp și vârfuri ale poligonului ? De ce, de exemplu, în figura 2.7, pag. 37 pixelii A , B și E sunt interiori poligonului dar

⁶Vom presupune, fără a restrânge generalitatea, că ne aflăm în cadranul 1.

pixelii C, D, F nu ? Vom numi un vârf al unei muchii y_{\min} dacă este vârful care are coordonata y minimă (dintre cele două vârfuri ale muchiei) iar y_{\max} altfel. Regula este : dacă un pixel corespunde unui vârf care este vârf y_{\min} al cel puțin uneia dintre cele două muchii care îl partajează atunci pixelul este considerat interior. În cazul poligonului $ABCDEF$ vârful A este y_{\min} pentru muchia AF și y_{\max} pentru AB , vârful B este y_{\min} pentru muchiile AB și BC , vârful C este y_{\min} pentru muchia CD și y_{\max} pentru muchia BC (dar, aplicând regula 3b, pag. 37 în prealabil, a fost etichetat extern), vârful D este y_{\max} pentru muchiile CD și DE , vârful E este y_{\min} pentru muchiile DE și EF , vârful F este y_{\max} pentru muchiile AF și EF . În concluzie pixelii A, B și E sunt interiori poligonului iar pixelii C, D, F nu sunt interiori poligonului.

- (d) Cum procedăm cu pixelii situați pe muchiile orizontale ale poligonului ? De ce, de exemplu, în cazul figurii 2.9, pag. 39 pixelii de pe muchiile AB , respectiv CD sunt interiori iar cei de pe muchia HG nu ? Sau, în cazul figurii 2.8, pag. 39, de ce pixelii de pe muchia BC nu sunt interiori triunghiului ? Vom proceda astfel : vom considera intersecțiile dreptelor de scanare doar cu muchiile care nu sunt orizontale. Vom elimina acele intersecții cu vârfuri care sunt doar y_{\max} . De exemplu, în cazul poligonului $ABCDEFGHI$ (figura 2.9, pag. 39) :

- i. dreapta de scanare $y = 10$ intersectează muchiile HI, FG, EF în $H(1, 10), G(8, 10), (10, 10)$. Remarcăm că vârful H este doar vârf de tip y_{\max} . Eliminăm acest vârf și vom obține doar punctele de intersecție $G(8, 10)$ și $(10, 10)$ și vom proceda ca mai sus.
- ii. dreapta de scanare $y = 6$ intersectează muchiile HI, BC, DE în $(1, 6), C(8, 6), D(10, 6)$. Remarcăm că vârful C este doar vârf de tip y_{\max} . Eliminăm acest vârf și vom obține doar punctele de intersecție $(1, 6)$, și $D(10, 6)$ și vom proceda ca mai sus.

Regula pe care am aplicat-o în acest caz este conformă cu convenția stabilită în secțiunea 2.4, pag. 34.

În cazul unor poligoane cu unghiuri foarte ascuțite (de exemplu triunghiul din figura 2.8, pag. 39) se recomandă și afișarea pixelilor de pe muchii sau chiar din exteriorul poligonului dar cu intensități care variază în funcție de distanța dintre pixel și cea mai apropiată muchie.

Algoritmul 10 Afișare poligon

Date de intrare : Un poligon specificat prin mulțimea muchiilor sale.

Date de ieșire : $M \in \text{list of } (\mathbb{Z} \times \mathbb{Z})$, mulțimea pixelilor interiori poligonului.

Metodă : Se aplică procedura *initializareET* pentru inițializarea unei tabele de muchii, o structură de date ce va conține, la finalul algoritmului, pentru fiecare dreaptă de scanare, punctele de intersecție ale acestei drepte cu muchiile neorizontale ale poligonului. Procedura *calculssm* calculează incremental, plecând de la tabela de muchii, segmentele de scanare maximale, pentru fiecare dreaptă de scanare.

type

```
VARF = struct S1 { int x, y; };
MUCHIE = struct S2 { VARF vi, vf; };
POLIGON = set of MUCHIE;
INTERSECTIE = struct S3 { int ymax; double xmin; double ratia } ;
INTERSECTII = list of INTERSECTIE;
```

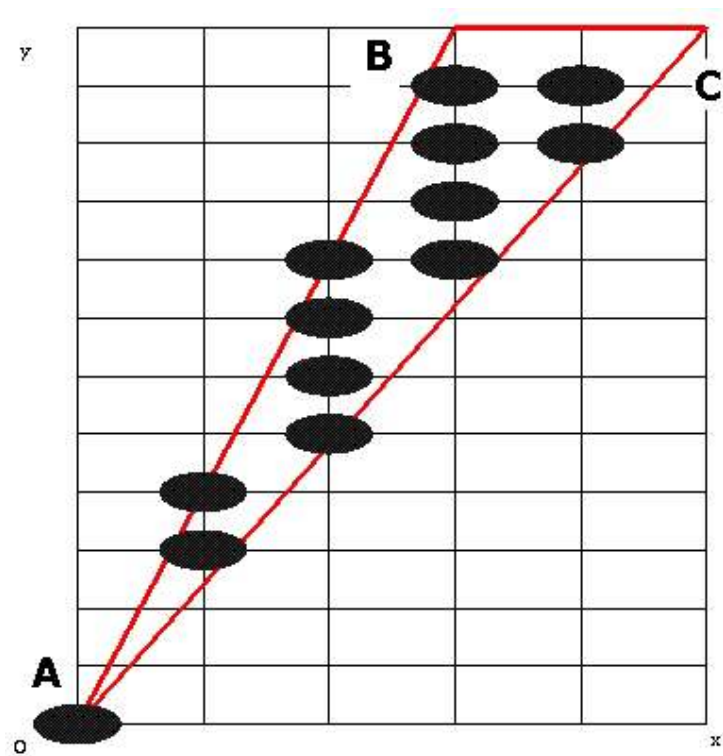


Figura 2.8: Pixelii interiori triunghiului ABC

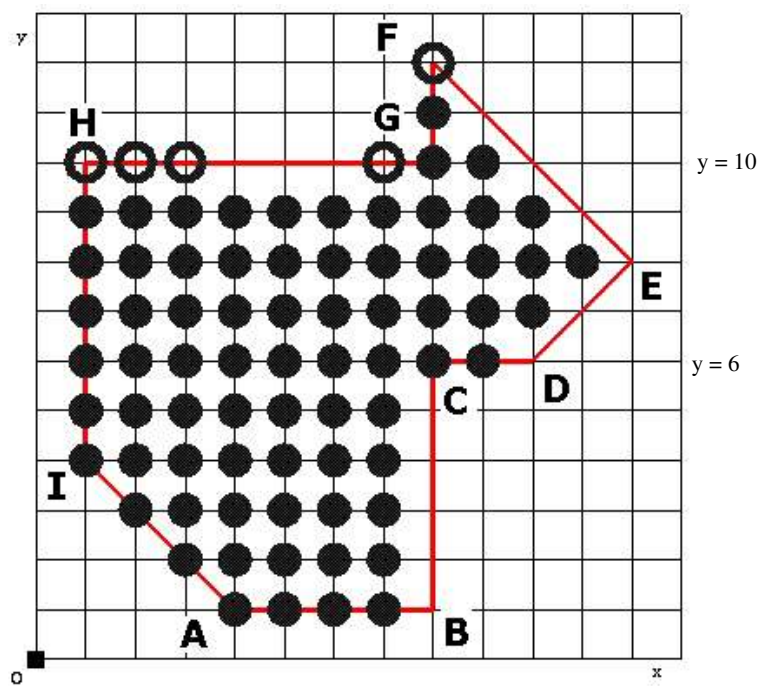


Figura 2.9: Pixelii interiori poligonului $ABCDEFGHI$

```

DOM_SCAN = 0 .. 100;
ET = DOM_SCAN -> INTERSECTII;

procedure initializareET(p : POLIGON, var et : ET)
{
  int xm,ym,xM,yM;
  bool change;

  for (i in DOM_SCAN) et(i) = [ ];
  for (m in p)
  {
    // pentru fiecare muchie din poligon ...
    if (m.vi.y != m.vf.y)
    {
      // ... care nu este orizontala
      ym = min (m.vi.y, m.vf.y);
      yM = max (m.vi.y, m.vf.y);
      xm = (ym == m.vi.y) ? m.vi.x : m.vf.x;
      xM = (yM == m.vi.y) ? m.vi.x : m.vf.x;
      et(ym) = et(ym) . [(yM, xm, (xm - xM)/(ym - yM))];
    }
  }
  /*
    sortarea in ordine crescatoare conform cu
    xm a intersectiilor dreptei de scanare cu
    muchiile poligonului
  */
  for (i in DOM_SCAN)
  {
    do
    {
      change = false;
      if (|et(i)| == 0) break;
      for (j = 1; j < |et(i)|; j++)
      {
        if (et(i)(j).xmin > et(i)(j+1).xmin)
        {
          interschimba et(i)(j) <-> et(i)(j+1);
          change = true;
        }
      }
    } while (change)
  }
}

procedure calculssm(p : POLIGON, et : ET, var finalet : ET)
{
  INTERSECTII activeSSM;

```

```

int y, k;

for (i in DOM_SCAN) finalET(i) = [ ];

// Se determina, in ordine crescatoare, care este
// prima dreapta de scanare care intersecteaza
// poligonul
// lui y i se atribuie o valoare care nu este din DOM_SCAN
y = -1;
// se determina y = min {y' | et(y') != \emptyset}
for (i in DOM_SCAN)
{
    if (! et(i).empty())
    {
        y = i;
        break;
    }
}
if (! y in DOM_SCAN) return;

activeSSM = [ ];
do
{
    activeSSM = activeSSM . et(y);

    // eliminarea varfurilor cu ymax == y
    for (i = 1; i <= |activeSSM|; i++)
    {
        if (activeSSM(i).ymax == y)
            activeSSM.delete(activeSSM(i));
    }

    // sortarea activeSSM cf. cheii xmin
    k = |activeSSM|;
    while (k >= 2)
    {
        for (i = 1; i < k; i++)
        {
            if (activeSSM(i).xmin > activeSSM(i+1).xmin)
                interschimba activeSSM(i) <-> activeSSM(i+1);
        }
        k--;
    }

    finalET(y) = activeSSM;

    y++;
}

```

```

    // reactualizarea punctelor de intersectie pentru noua dreapta de scanare
    for (i = 1; i <= |activeSSM|; i++)
    {
        if (activeSSM(i).ratia != 0)
            activeSSM(i).xmin += activeSSM(i).ratia;
    }
} while (!activeSSM.empty() || !et(y).empty())
}

procedure coloreaza(ssms : ET)
{
    // Se aplica regulile discutate anterior
}

procedure main()
{
    POLIGON p;
    ET et, ssms;

    read(p);
    initializareET(p, et);
    calculssm(p, et, ssms);
    coloreaza(ssms);
}

```

■
 În procedura *coloreaza* din algoritmul 10, pag. 38 segmentele de scanare maximale sunt colorate utilizând regulile 3a, pag. 37 și 3b, pag. 37.

2.6 Colorarea uniformă a cercurilor și a elipselor

Atât în cazul cercurilor cât și în cazul elipselor vom ține cont de simetria acestor obiecte geometrice. În cazul unui cerc este suficient să colorăm pixelii din cel de-al doilea octant și apoi, utilizând simetria față de axele Ox , Oy , față de originea O cât și față de prima bisectoare, putem colora pixelii interiori cercului. În cazul unei elipse este suficient să colorăm pixelii din primul cadran și apoi, utilizând simetria față de axele Ox , Oy , și față de originea O , putem colora pixelii interiori elipsei.

Fără a restrânge generalitatea vom presupune că cercurile sunt centrate în origine și au raza R iar elipsele sunt centrate în origine și au semiaxe a , b .

În ambele cazuri algoritmi propuși calculează, în mod incremental, extremitățile segmentelor de scanare maximale din cerc, respectiv elipsă. Atât în cazul unui cerc cât și în cazul unei elipse vom utiliza o structură de date care să ne permită să memorăm una din extremitățile unui segment de scanare maximal. Cealaltă extremitate se obține, în cazul cercului, prin intersecția dreptelor de scanare $y = 0, y = 1, \dots, y = R$ cu dreapta $x = 0$ iar în cazul elipsei, prin intersecția dreptelor de scanare $y = 0, y = 1, \dots, y = b$ cu dreapta $x = 0$.

Algoritmi sunt similari (sunt incremental și utilizează doar aritmetica întregilor) celor de conversie prin scanare prezentați în secțiunile anterioare.

În cazul cercului, să presupunem că pixelul curent este pixelul $P(x_P, y_P)$ și deci extremitatea dreaptă a segmentului de scanare maximal corespunzător dreptei de scanare $y = y_P$ este P . În momentul în care se va trece la un nou pixel curent va trebui să luăm două decizii :

1. dacă să reactualizăm sau nu extremitatea segmentului de scanare maximal a cărui extremitate este $P(x_P, y_P)$ (sau, mai bine zis, dacă pixelul E poate deveni extremitate în locul lui P),
2. să reactualizăm extremitatea segmentului de scanare maximal corespunzător dreptei de scanare $y = y_P - 1$.

Ecuția cercului centrat în origine, de rază R este $F(x, y) = 0$, unde $F(x, y) = x^2 + y^2 - R^2$. Deoarece punctul P este extremitatea unui segment de scanare maximal atunci el este în interiorul sau pe cerc, deci $F(P) \leq 0$, unde $F(P) \doteq F(x_P, y_P)$. Putem calcula valorile $F(E)$ și $F(SE)$ plecând de la valoarea lui $F(P)$: $F(E) \doteq F(x_P + 1, y_P) = (x_P + 1)^2 + y_P^2 - R^2 = F(P) + 2 \cdot x_P + 1$ și $F(SE) \doteq F(x_P + 1, y_P - 1) = (x_P + 1)^2 + (y_P - 1)^2 - R^2 = F(P) + 2 \cdot x_P - 2 \cdot y_P + 2$.

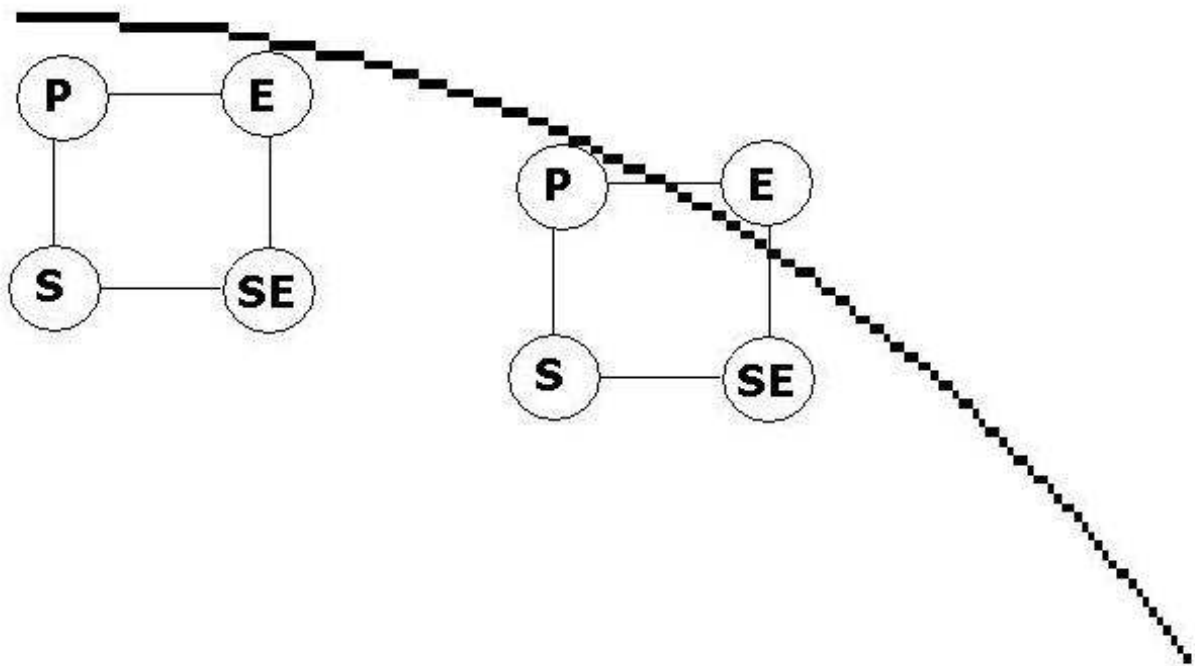


Figura 2.10: Cazuri posibile în al doilea octant al unui cerc

Ținând cont de cele de mai sus :

1. Dacă $F(E) \leq 0$ (deci pixelul E este interior, a se vedea figura 2.10, pag. 43) atunci reactualizăm segmentul de scanare maximal corespunzător dreptei de scanare $y = y_P$ cu extremitatea E în loc de P . În acest caz pixelul E devine pixelul curent P .
2. Dacă $F(SE) \leq 0$ atunci actualizăm segmentul de scanare maximal corespunzător dreptei de scanare $y = y_P - 1$ cu extremitatea SE (pixelul SE este interior, a se vedea figura 2.10, pag. 43). În acest caz pixelul SE devine pixelul curent P .

3. Altfel (i.e., dacă $F(E) > 0$ și $F(SE) > 0$) înseamnă că atât E cât și SE sunt în exteriorul cercului și deci vom alege S în loc de P (deoarece este evident că dacă P este în interiorul cercului atunci pixelul S este tot în interiorul cercului : avem $F(P) \leq 0$, deci $x_P^2 + y_P^2 - R^2 \leq 0$, $F(S) \doteq F(x_P, y_P - 1) = x_P^2 + (y_P - 1)^2 - R^2 = F(P) - 2 \cdot y_P + 1$ și cum $1 - 2 \cdot y_P < 0$ deoarece $y_P \geq 1 > \frac{1}{2}$ avem deci $F(S) \leq 0$).

În cazul elipsei problema este similară dar puțin mai complicată deoarece în acest caz raționamentul trebuie făcut pentru tot cadranul întâi pentru cele două regiuni identificate la algoritmul de conversie prin scanare al unei elipse.

Ecuția elipsei de semiaxe a , b centrate în origine este $F(x, y) = 0$, unde $F(x, y) = b^2 \cdot x^2 + a^2 \cdot y^2 - a^2 \cdot b^2$. Regiunea 1 este acea regiune din primul cadran caracterizată de inecuația $a^2 \cdot y > b^2 \cdot x$ iar regiunea 2 de inecuația $a^2 \cdot y < b^2 \cdot x$. Un punct $A(x, y)$ este interior elipsei ddacă $F(A) < 0$.

În prima regiune să presupunem că pixelul curent este pixelul $P(x_P, y_P)$ și deci extremitatea dreaptă a segmentului de scanare maximal corespunzător drepte de scanare $y = y_P$ este P . Avem mai multe cazuri :

1. Dacă pixelul $E(x_P + 1, y_P)$ este interior elipsei atunci va trebui să reactualizăm extremitatea dreaptă a segmentului de scanare maximal corespunzător drepte de scanare $y = y_P$. Ea devine E . În acest caz pixelul E devine următorul pixel curent.
2. Altfel, dacă pixelul $SE(x_P + 1, y_P - 1)$ este interior elipsei atunci va trebui să reactualizăm extremitatea dreaptă a segmentului de scanare maximal corespunzător drepte de scanare $y = y_P - 1$. Ea devine SE . În acest caz pixelul SE devine următorul pixel curent.
3. Altfel, dacă pixelul $SE(x_P + 1, y_P - 1)$ este exterior elipsei atunci va trebui să reactualizăm extremitatea dreaptă a segmentului de scanare maximal corespunzător drepte de scanare $y = y_P - 1$. Ea devine S . În acest caz pixelul S devine următorul pixel curent.

În a doua regiune să presupunem că pixelul curent este pixelul $P(x_P, y_P)$ și deci extremitatea dreaptă a segmentului de scanare maximal corespunzător drepte de scanare $y = y_P$ este P . Avem mai multe cazuri :

1. Dacă pixelul $SE(x_P + 1, y_P - 1)$ este interior elipsei atunci va trebui să reactualizăm extremitatea dreaptă a segmentului de scanare maximal corespunzător drepte de scanare $y = y_P - 1$. Ea devine SE . În acest caz pixelul SE devine următorul pixel curent.
2. Altfel, dacă pixelul $SE(x_P + 1, y_P - 1)$ este exterior elipsei atunci va trebui să reactualizăm extremitatea dreaptă a segmentului de scanare maximal corespunzător drepte de scanare $y = y_P - 1$. Ea devine S (este evident că dacă P este în interiorul elipsei atunci S este și el în interiorul elipsei deoarece presupunând că $F(P) \leq 0$ atunci cum $F(S) = F(P) + a^2 \cdot (-2 \cdot y_P + 1)$ și cum $y_P \geq 1$ avem deci $F(S) \leq F(P) \leq 0$). În acest caz pixelul S devine următorul pixel curent.

Valorile $F(E)$, $F(SE)$, $F(S)$ sunt calculate în funcție de $F(P)$ astfel : în regiunea 1 $F(E) = F(P) + b^2 \cdot (2 \cdot x_P + 1)$ iar $F(SE) = F(P) + b^2 \cdot (2 \cdot x_P + 1) + a^2 \cdot (-2 \cdot y_P + 1)$. Valori similare se pot deduce și pentru a doua regiune.

Algoritmul care realizează umplerea unei elipse este :

Algoritmul 11 UmplereElipsa

Date de intrare : O elipsă centrată în origine de semiaxe întregi $a, b \in \mathbb{Z}$.

Date de ieșire : $M \in \text{list of } (\mathbb{Z} \times \mathbb{Z})$, mulțimea pixelilor interiori elipsei.

Metodă : O procedură C/C++ care implementează algoritmul descris mai sus este următoarea :

```
void umplereelipsa(int x0, int y0, int a, int b, double val,
                  void (*sablon) (int x, int y, double val,
                                  CGrilaCarteziana &cc))
{
    int xi = 0, x = 0, y = b;
    double fxpyp = 0.0;
    double deltaE, deltaSE, deltaS;

    ssm.vidare();
    ssm.adauga(y+y0, xi+x0, x+x0);

    // regiunea 1
    while (a*a*(y-0.5) > b*b*(x+1))
    {
        deltaE = b * b * ( 2 * x + 1 );
        deltaSE = b * b * ( 2 * x + 1 ) + a * a * (-2 * y + 1);
        if (fxpyp + deltaE <= 0.0)
        {
            // E este in interior
            fxpyp += deltaE;
            x++;
            ssm.setare(y+y0, xi+x0, x+x0);
        }
        else if (fxpyp + deltaSE <= 0.0)
        {
            // SE este in interior
            fxpyp += deltaSE;
            x++; y--;
            ssm.adauga(y+y0, xi+x0, x+x0);
        }
    }

    // regiunea 2
    while (y > 0)
    {
        deltaSE = b * b * ( 2 * x + 1 ) + a * a * (-2 * y + 1);
        deltaS = a*a*(-2 * y + 1);
        if (fxpyp + deltaSE <= 0.0)
        {
            // SE este in interior
            fxpyp += deltaSE;
            x++; y--;
        }
    }
}
```

```

    }
    else
    {
        // S este in interior
        fxpyp += deltaS;
        y--;
    }
    ssm.adauga(y+y0,xi+x0, x+x0);
}
ssm.desenare(val, *this, sablon);
}

```

După ce am determinat pixelii interiori unui cerc sau unei elipse în cadranul întâi, prin simetrie, putem determina pixelii interiori din celelalte cadrane.
 ■